

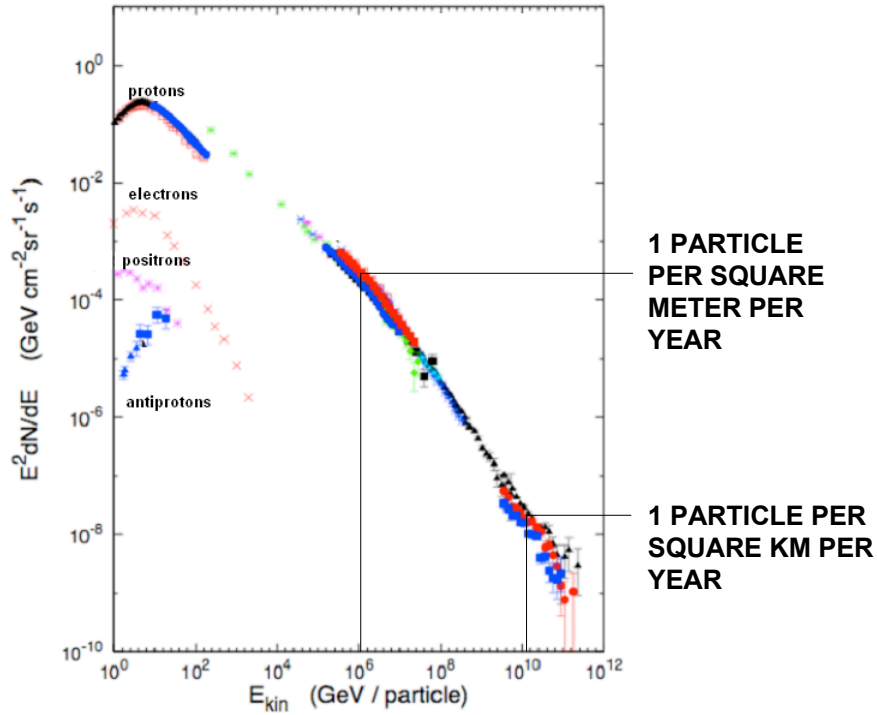
# Astrofisica e particelle elementari

aa 2007-08

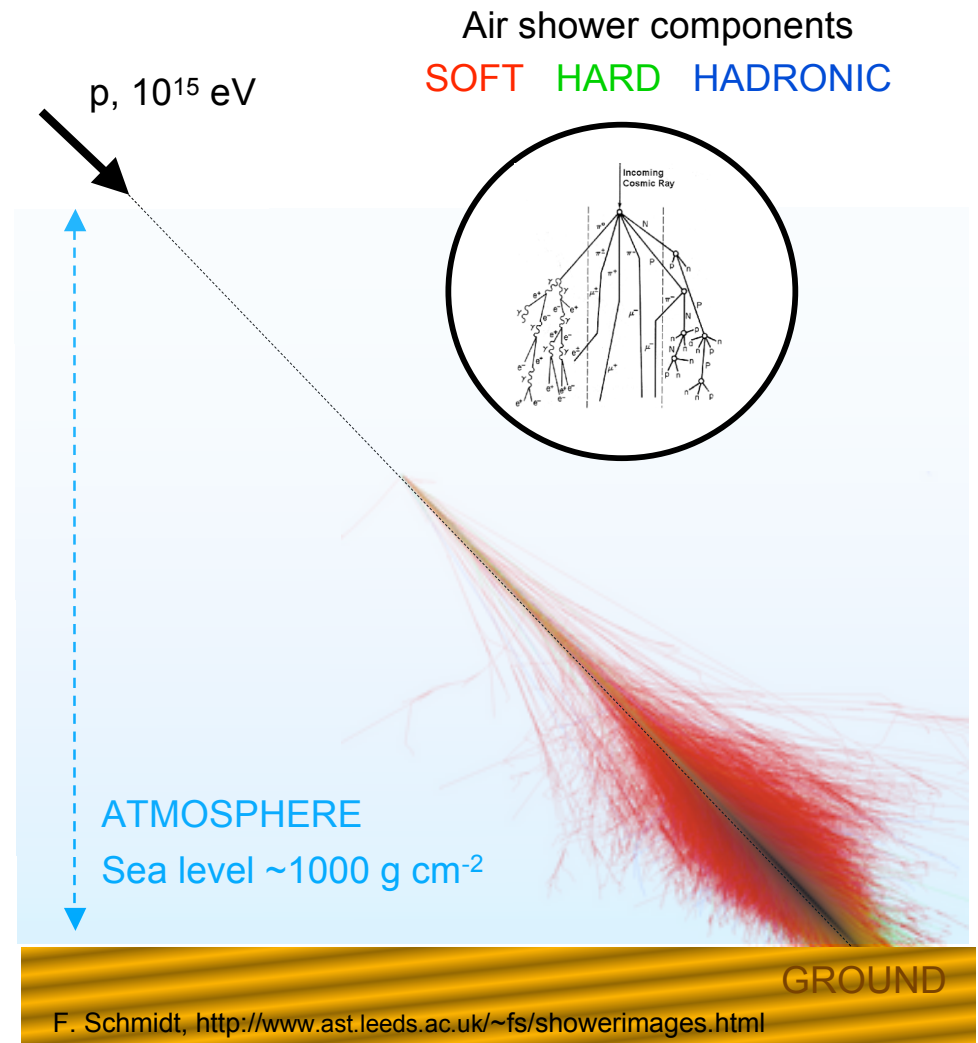
Lezione 9

Bruno Borgia

# Misure indirette dei RC



- large detection areas for significant statistics
- ground based detectors:
  - Extensive Air Showers



# La fisica dei raggi cosmici UHE

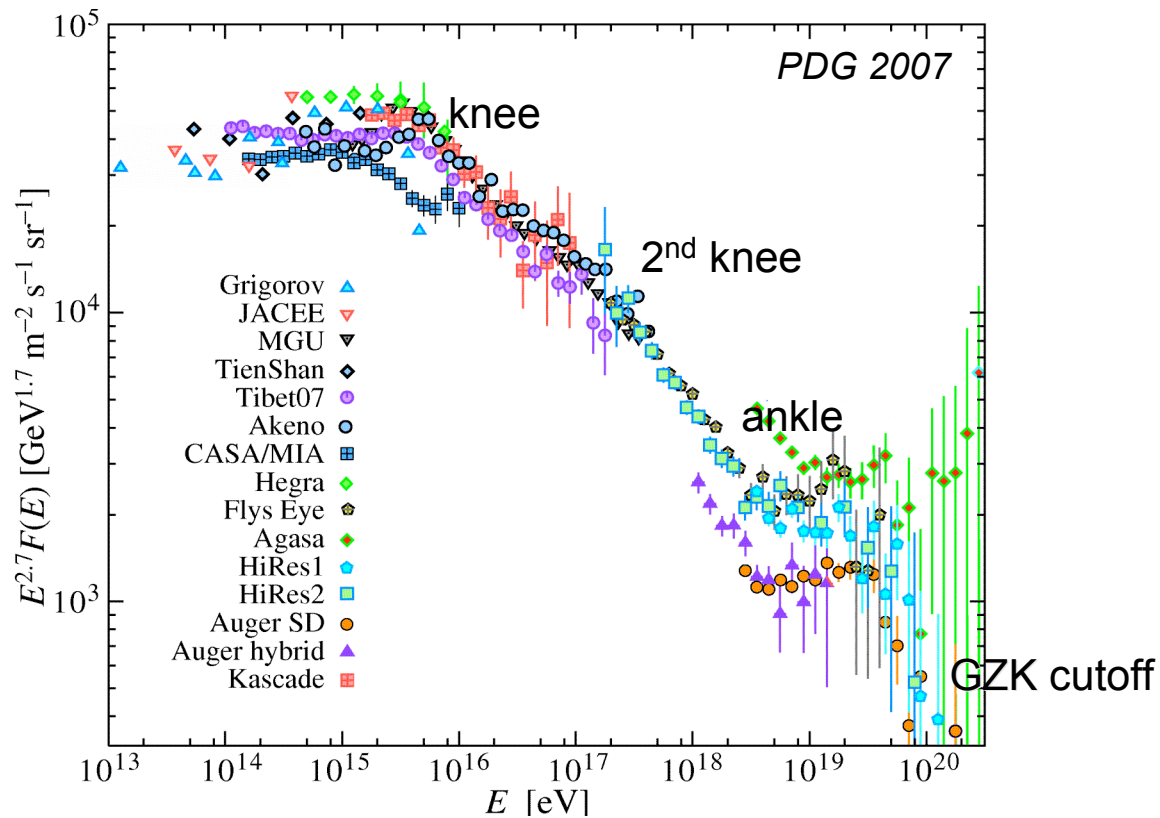
## ASTRO -

- quali sono le sorgenti?
- quanto distanti e come distribuite?
- meccanismi di accelerazione?
- propagazione?



## - PARTICLE

- interazioni di particelle ad energie superiori delle macchine acceleratrici?



Misure:

- distribuzione di energia
- composizione chimica
- direzione di arrivo
- verifica modelli di interazione ad alta energia

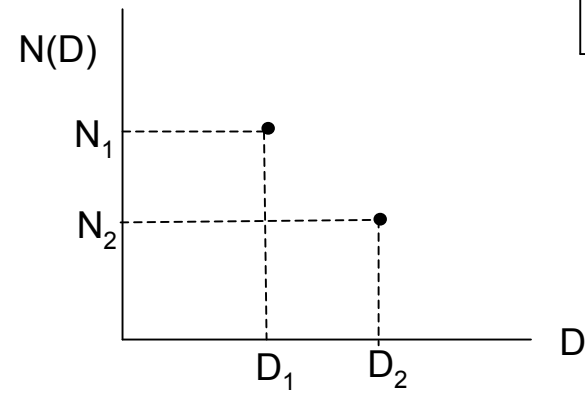
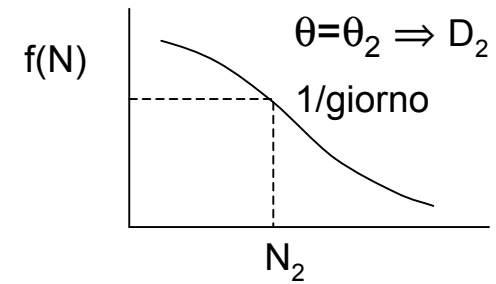
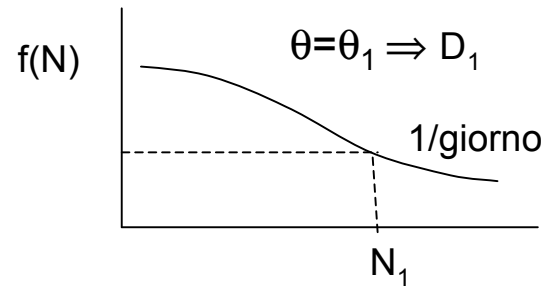
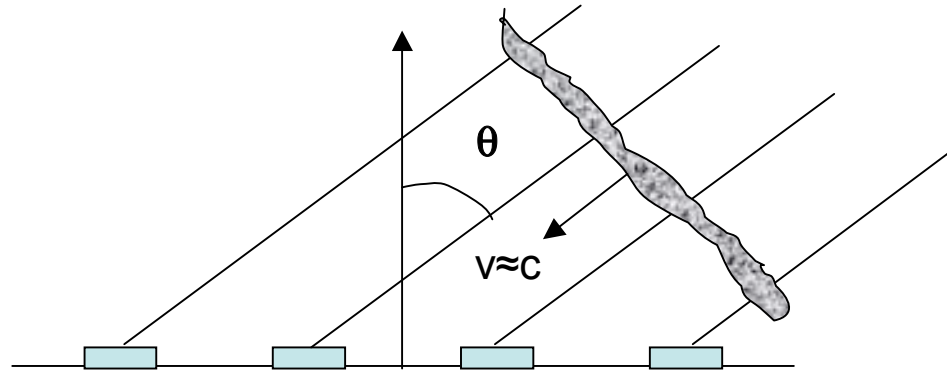
# EAS

## **Extensive Air Shower**

Le particelle cariche dello sciame possono provocare anche la fluorescenza dell'azoto atmosferico, generando circa 5000 fotoni per km di traccia, nella regione del blu. La luce di fluorescenza è emessa isotropicamente.

Particelle secondarie generate negli sciami iniziati da protoni o nuclei di alta energia possono arrivare a terra senza perdere tutta la loro energia nell'atmosfera. Per rivelare tali sciami si impiegano rivelatori di dimensioni limitate ma in gran numero distribuiti su una grande superficie. Il solo fatto di osservare a terra  $10^6$  o più particelle relativistiche ci dice che il primario deve aver avuto una energia molto grande. Per stimare l'energia si modella lo sviluppo di sciami adronici per mezzo di montecarli confrontando i risultati con le misure eseguite da una collaborazione US-Giappone sul Monte Chacaltaya in Bolivia a 5200 m di quota. A questa altezza la densità atmosferica sopra il rivelatore è circa la metà essendo  $520 \text{ g/cm}^2$ . Si misura quindi il numero di particelle in funzione dell'angolo zenitale  $\theta$  e quindi si studia lo sviluppo dello sciame per profondità variabili. L'angolo  $\theta$  si ottiene dai tempi di arrivo delle particelle nei vari rivelatori, tenendo conto che lo spessore delle particelle che arrivano è dell'ordine di qualche metro. Inoltre si assume che sciami che arrivano da angoli diversi ma che hanno la stessa frequenza siano iniziati da primari della stessa energia. In definitiva si può quindi ottenere una distribuzione di numero di particelle per spessori variabili dell'atmosfera a energia fissata, Esistono altri metodi per calibrare gli sciami estesi.

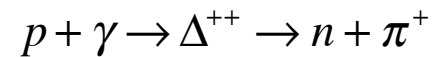
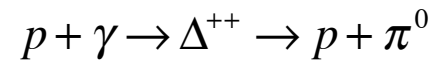
# EAS



# UHE e EHE CR

Lo spettro dei RC si estende fino a  $10^{20}$  eV e i dati provengono da esperimenti con rivelatori distribuiti su grandi superfici. AGASA in Giappone ha un'estensione di  $100 \text{ km}^2$ . Auger si estende su  $3000 \text{ km}^2$  e potrà misurare  $\approx 50$  eventi/anno con  $E \approx 10^{20}$  eV.

Greisen, Zatsepin e Kuzmin mostrarono che a quelle energie l'universo diventa opaco a causa della fotoproduzione di pioni alla risonanza  $\Delta^{++}$  nell'urto di protoni contro i fotoni della radiazione cosmica di fondo:



La sezione d'urto per questa reazione è  $\sigma \approx 2 \cdot 10^{-28} \text{ cm}^2$

La densità della radiazione di fondo è  $\rho = 400 \text{ fotoni/cm}^3$

Il cammino libero medio è quindi  $\lambda = 1/\rho\sigma \approx 10^{25} \text{ cm} = 5 \text{ Mpc}$  (dimensione di un cluster di galassie)

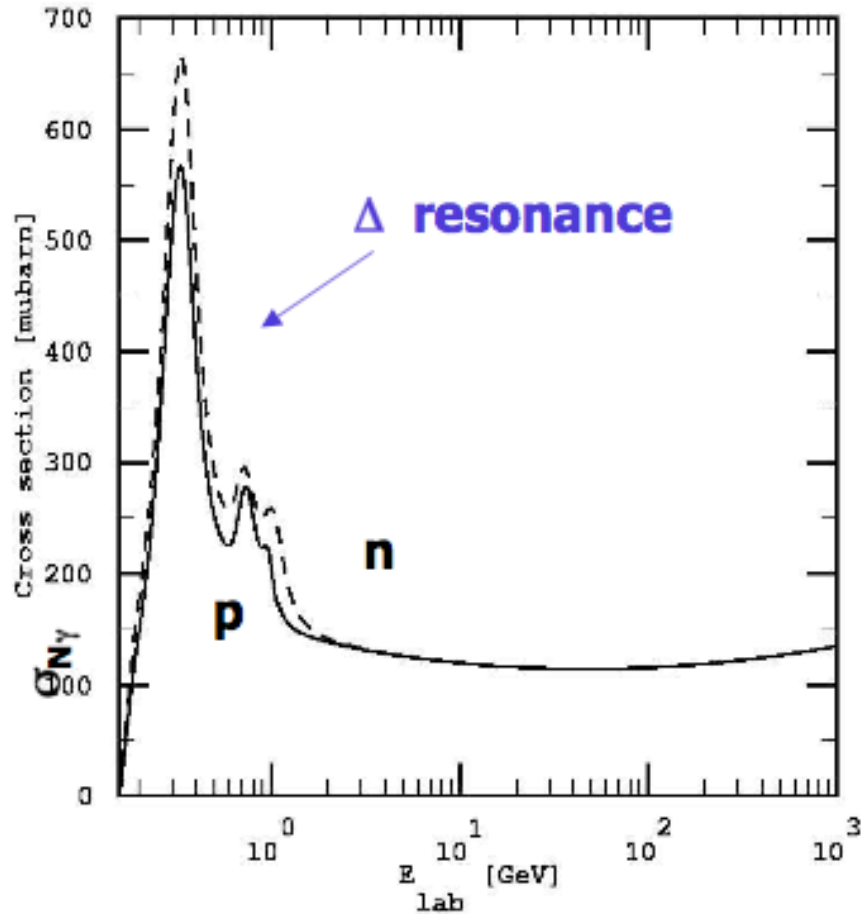
I protoni con energia  $E_p \approx 10^{19}$  sono sopra soglia per la produzione di  $\Delta^{++}$ .

Questo limite è noto come limite GZK.

A queste energie i protoni non sono confinati nella nostra Galassia.

*{calcolare il raggio di curvatura nel campo magnetico galattico}*

# LIMITE GZK



protone:  $(\vec{p}, E)$ ; fotone<sub>CMB</sub>:  $(\vec{q}, qc)$

$$s = E_{cm}^2 = (E + q)^2 - (\vec{p} + \vec{q})^2 = M^2 + 2q(E - |\vec{p}| \cos \theta)$$

$s$  iniziale  $>$   $s$  a soglia

$$M^2 + 2q(E - |\vec{p}| \cos \theta) > M^2 + m_\pi^2 + 2Mm_\pi$$

protone relativistico

$$E \approx p$$

urto centrale

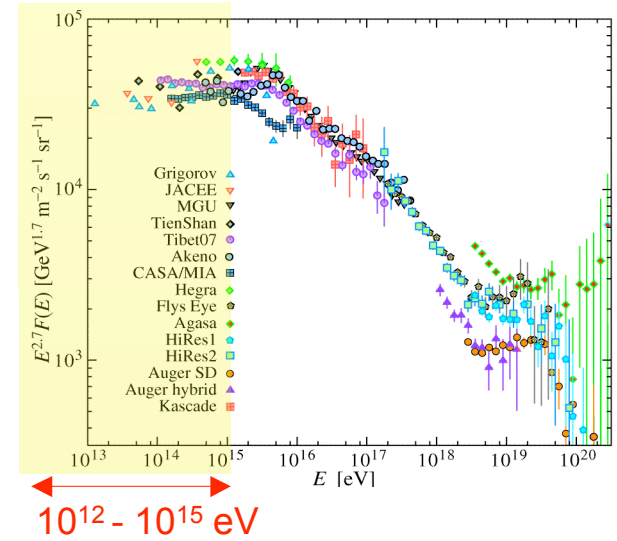
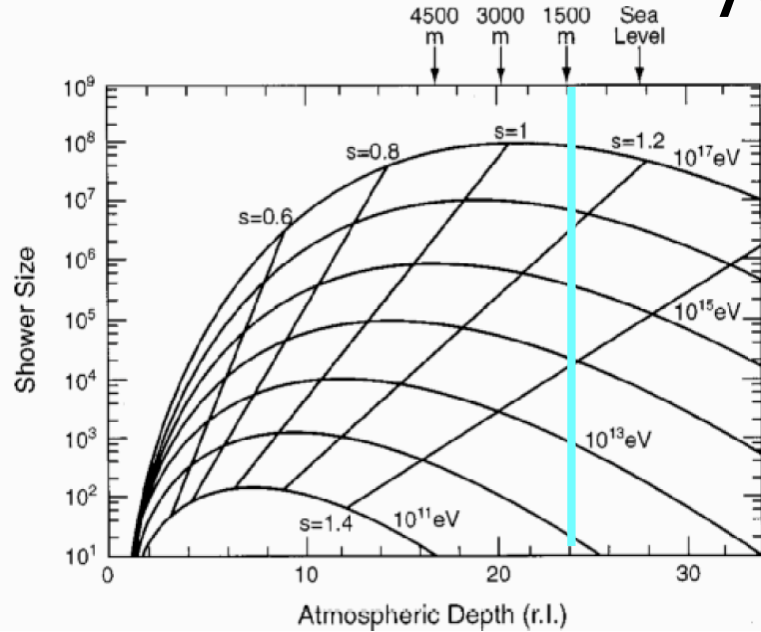
$$(1 - \cos \theta) = 2$$

$$E_{soglia} = m_\pi \frac{M + m_\pi / 2}{2q}$$

fotoni CMB:  $T = 2.74K$ ;  $qc = kT = 2.35 \times 10^{-4} eV$

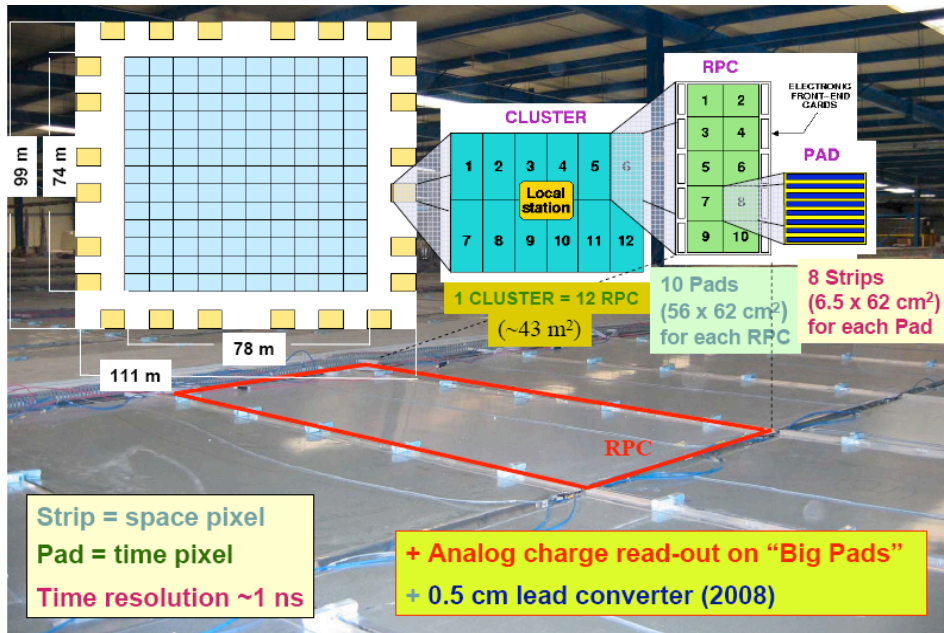
$$E_{soglia} = (4.3/z) \times 10^{20} eV \quad \text{con } qc = zkT$$

# ARGO-YBJ



To lower the energy threshold:

- go to high altitude!
- reduce the spacing between particle detectors



**4300 m a.s.l. (~660 g cm<sup>-2</sup>)**  
**Full coverage**

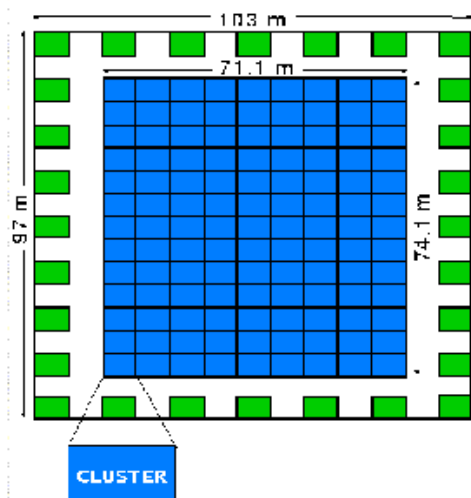




# ARGO

## ARGO

Area 5.200 m<sup>2</sup> (full coverage)  
(10.000 m<sup>2</sup> with guard ring)  
Field of view ~ 1 sr  
E = 50 GeV - 50 TeV  
Location: Tibet 4300m alt.  
Scheduled 2002 (final conf.)

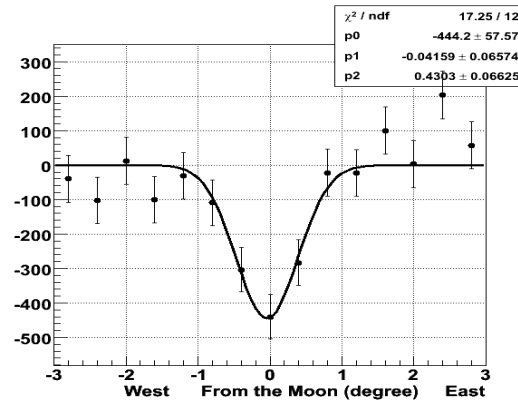
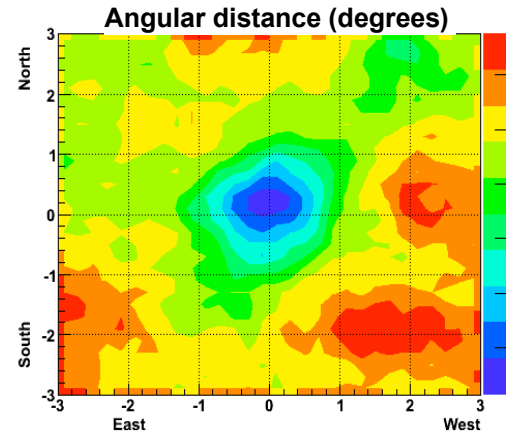
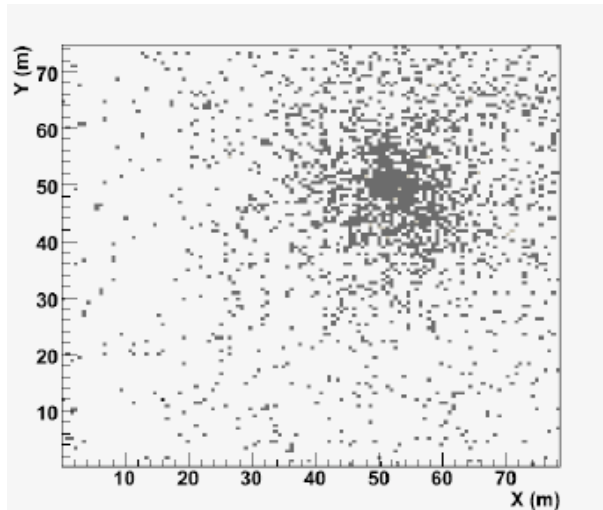
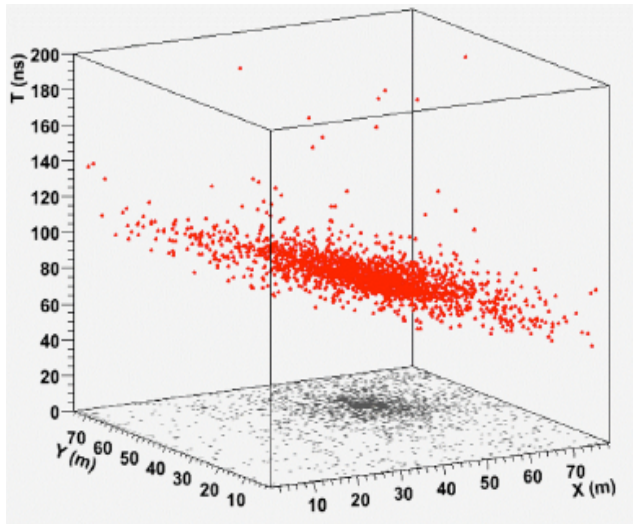


17400 Pads 56 by 60 cm<sup>2</sup> each of Resistive Plate Chamber (RPC).  
Each pad subdivided in pick-up strips 6 cm wide for the space pattern inside the pad.  
The CLUSTER is made of 12 RPCs Pads

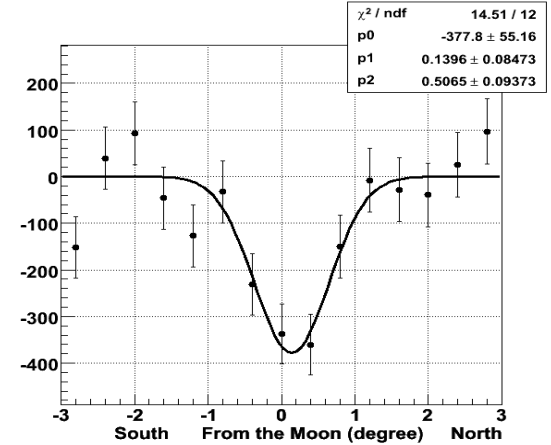


# Risultati ARGO-YBJ (I)

High space-time granularity



## Moon Shadow



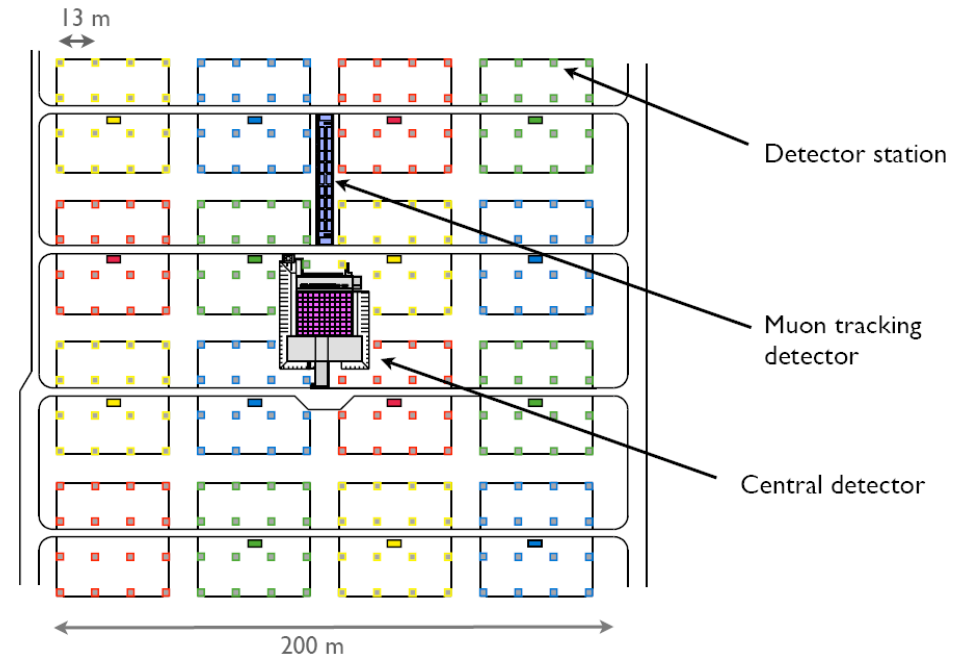
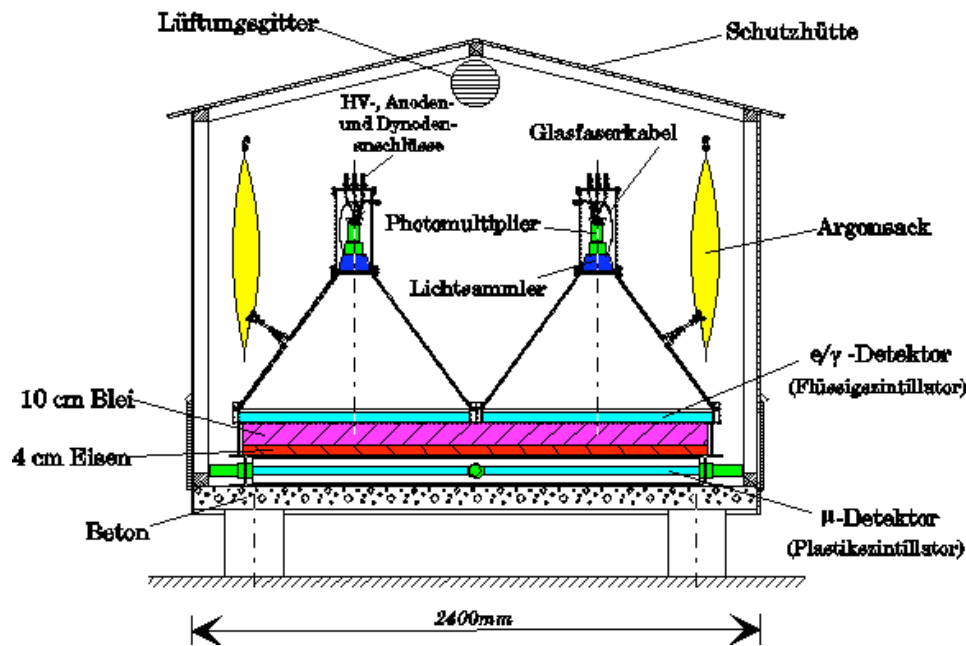
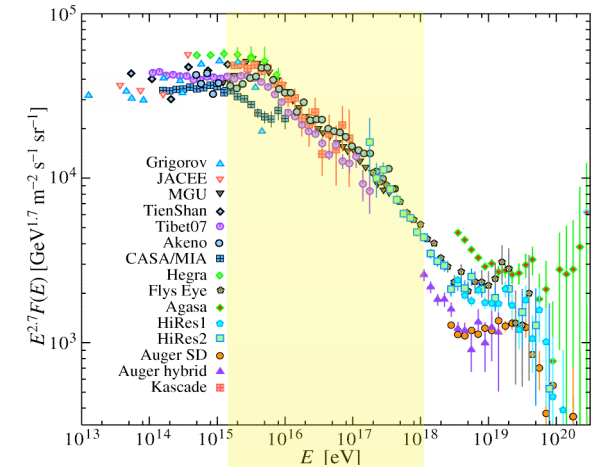
- 560 h of Moon observation with  $\vartheta < 45^\circ$
- $N_{\text{pad}} > 500$  (median energy  $\sim 5$  TeV)
- only events with core reconstructed inside the array

Deficit significance  $\sim 10 \sigma$   
 Angular shift with respect to the Moon position :  
 0.04° westward  
 0.14° northward

# Karlsruhe Shower Core Array DEtector

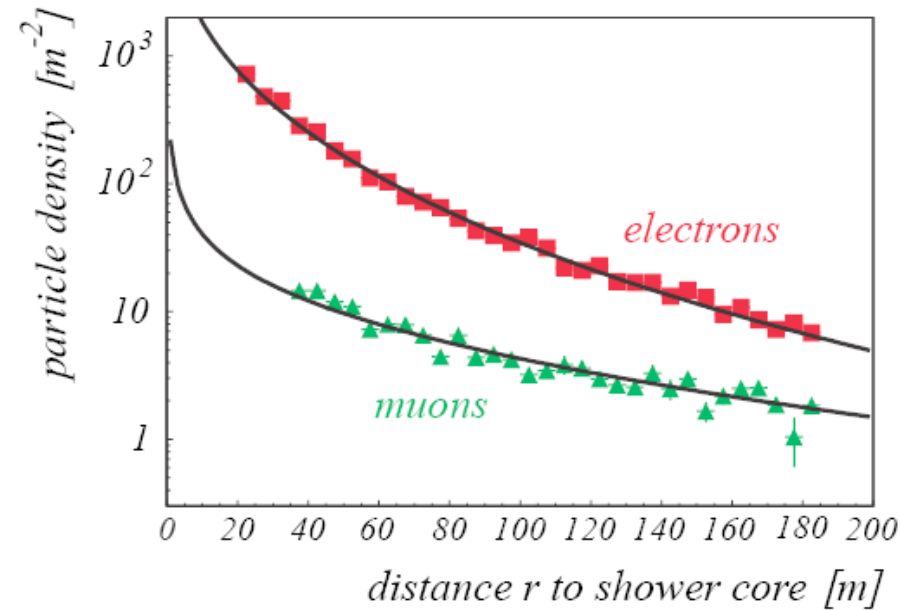
Simultaneous measurement of the shower components:

- electromagnetic
- muonic
- hadronic

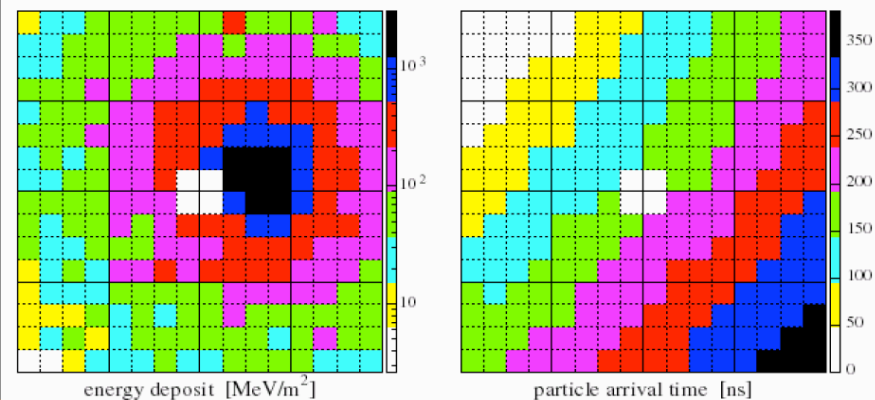


# KASCADE e/ $\gamma$ and muon detector

Detector stations

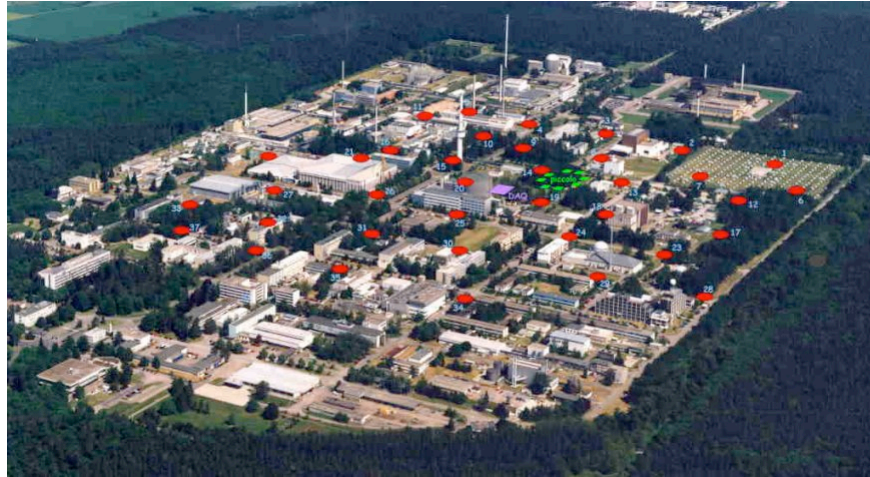


e/ $\gamma$ -Detectors, Run 1, Event 71089, 96-03-05 22:07:48.956078



|                  |  |
|------------------|--|
| shower core      | $\Delta r = 2.5 - 5.5$ m               |
| shower direction | $\Delta\alpha = 0.5^\circ - 1.2^\circ$ |
| shower size      | $\Delta N_e/N_e = 6 - 12$ %            |

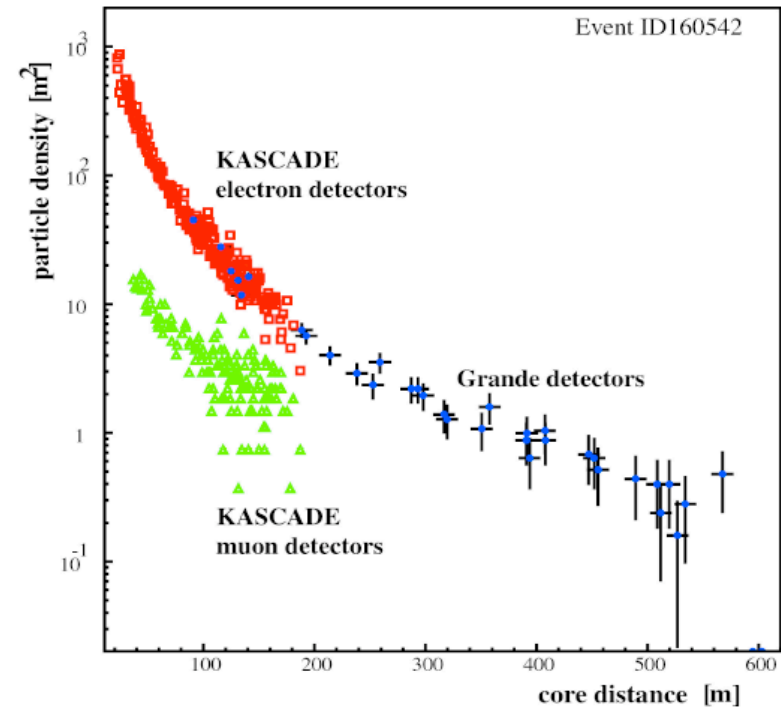
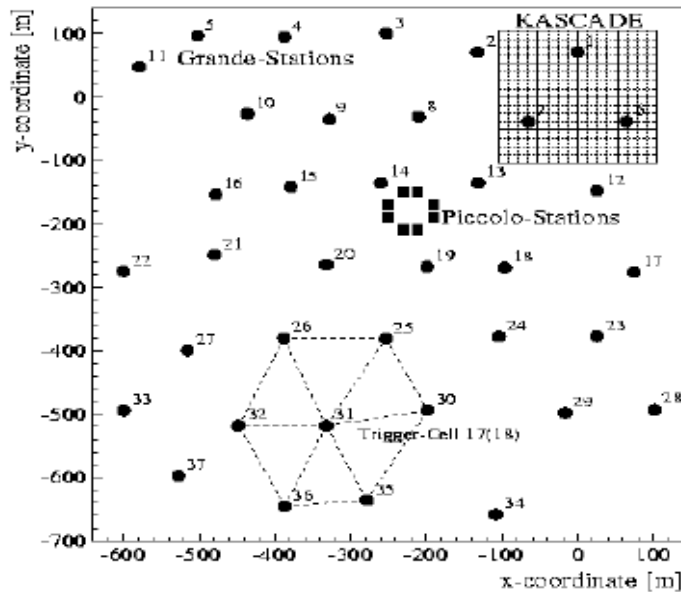
# KASCADE-Grande



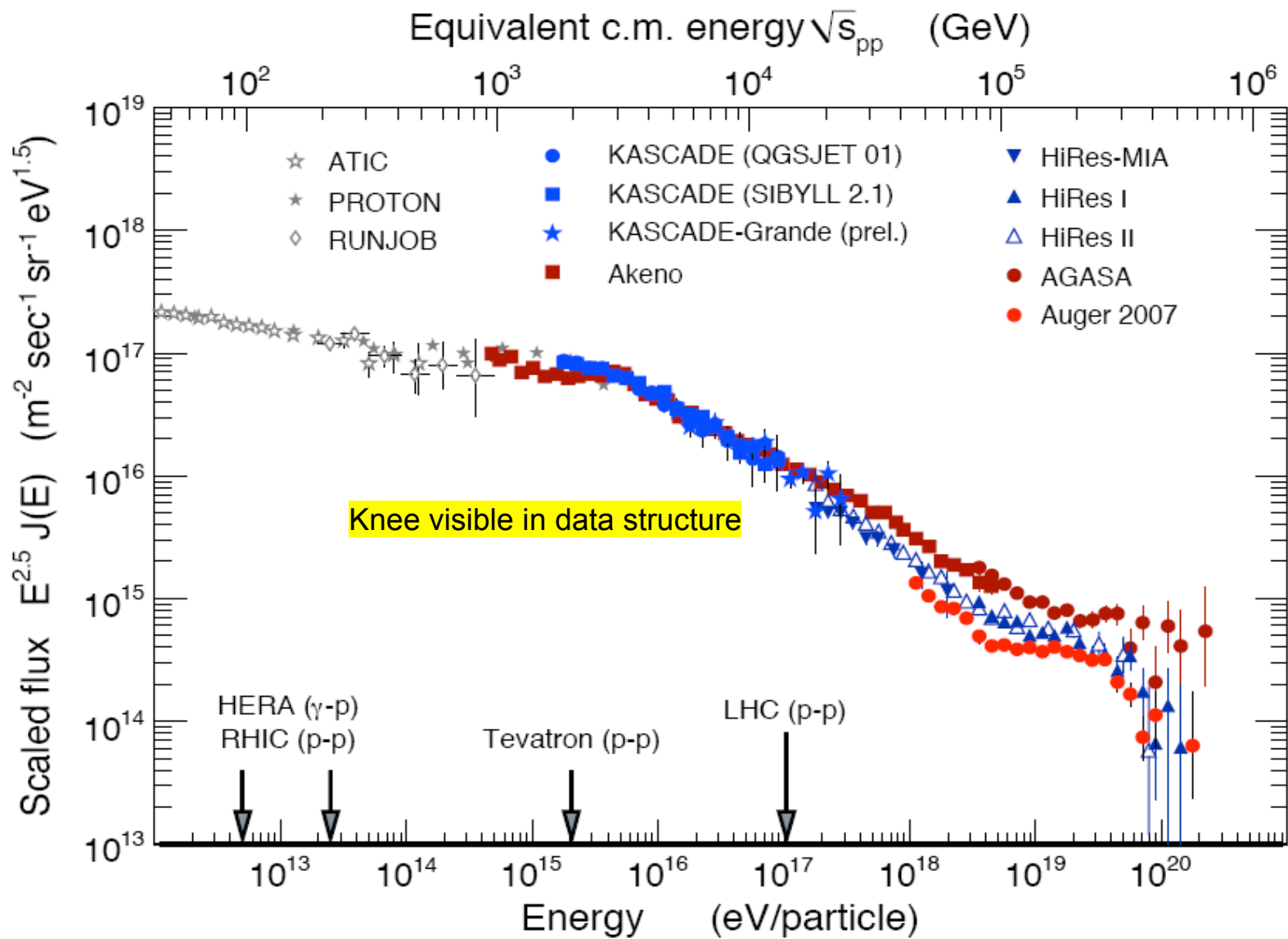
Using scintillators from EAS-TOP, the Instrumented area is increased of more than a factor 10:

$$0.04 \rightarrow 0.5 \text{ km}^2$$

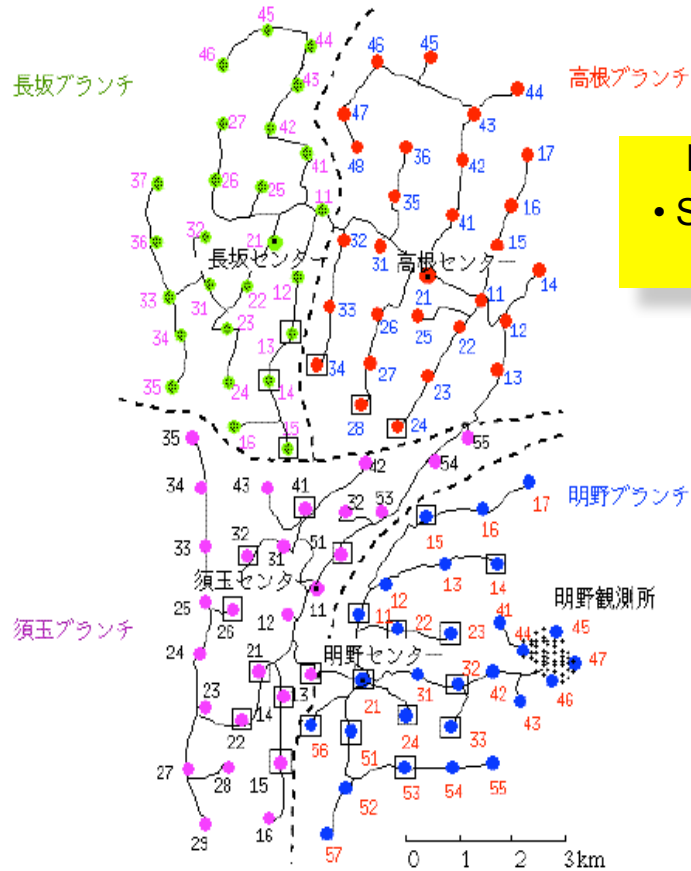
Energy range extended to 1 EeV



# KASCADE all-particle spectrum

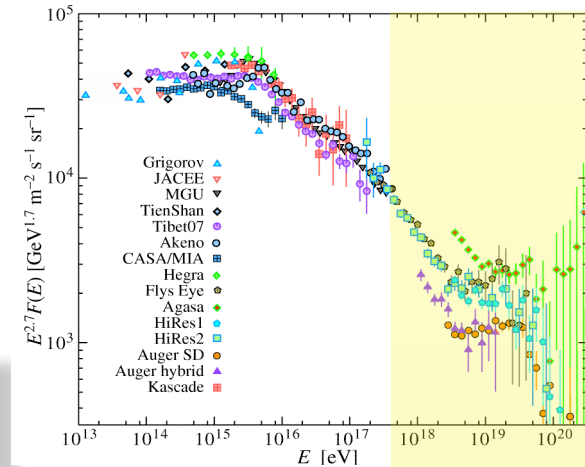


# La regione delle alte energie

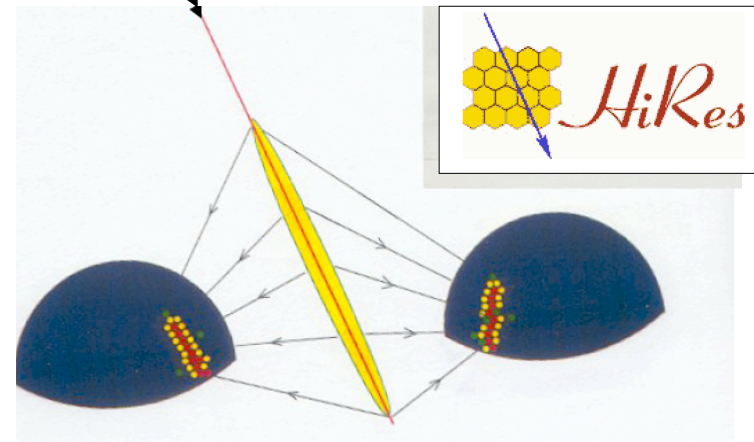


Due tecniche di rivelazione:

- Surface particle detector array
- Fluorescence telescopes



Utah  
Stereo FD  
1997-2006

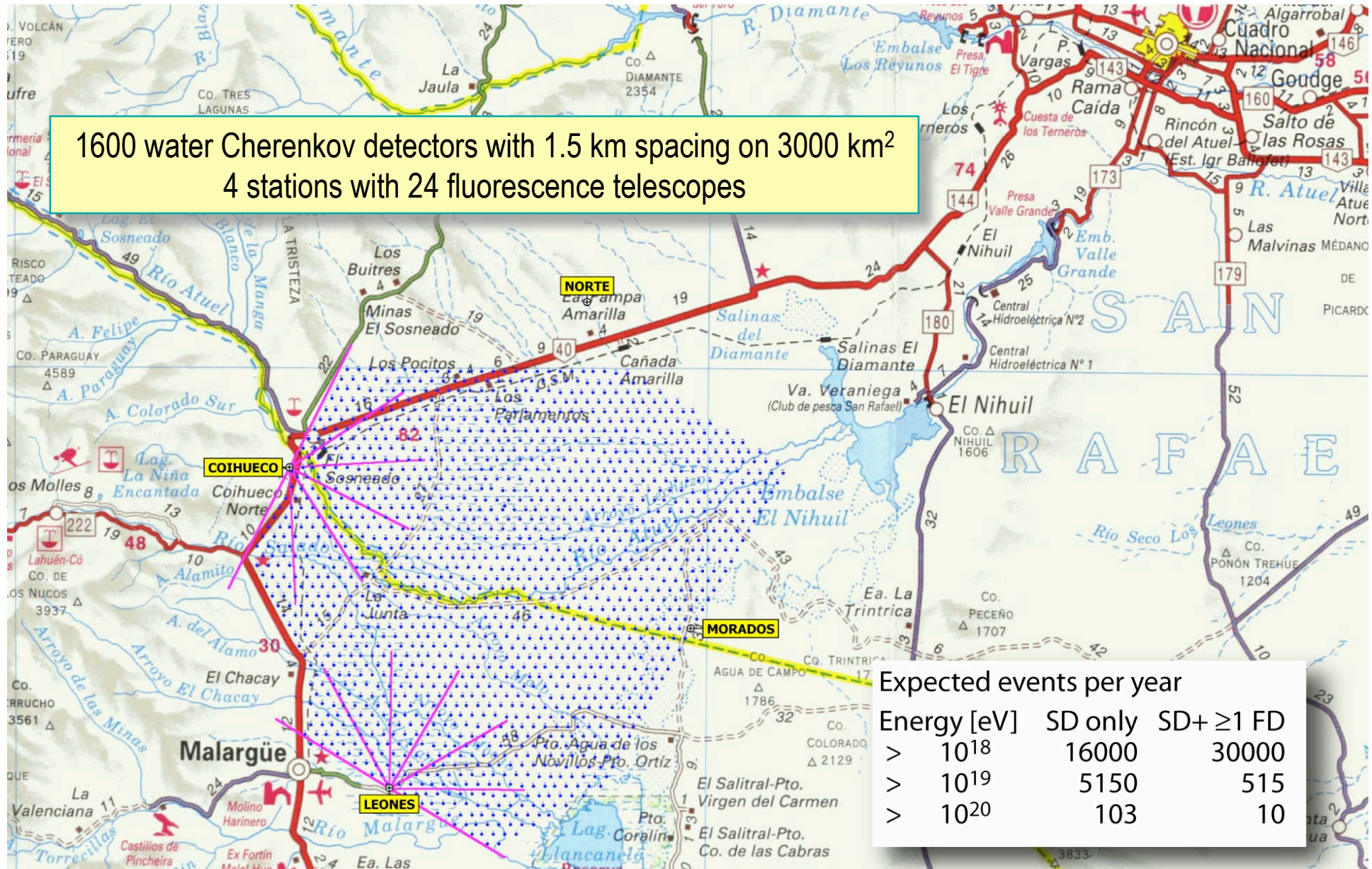


**AGASA** (Akeno, Japan)  
100 km<sup>2</sup> array  
1990-2003

- Fluorescence UV photons imaged with a pixel detector
- Track the longitudinal profile

# AUGER

1600 water Cherenkov detectors with 1.5 km spacing on 3000 km<sup>2</sup>  
 4 stations with 24 fluorescence telescopes





# Auger: il metodo ibrido

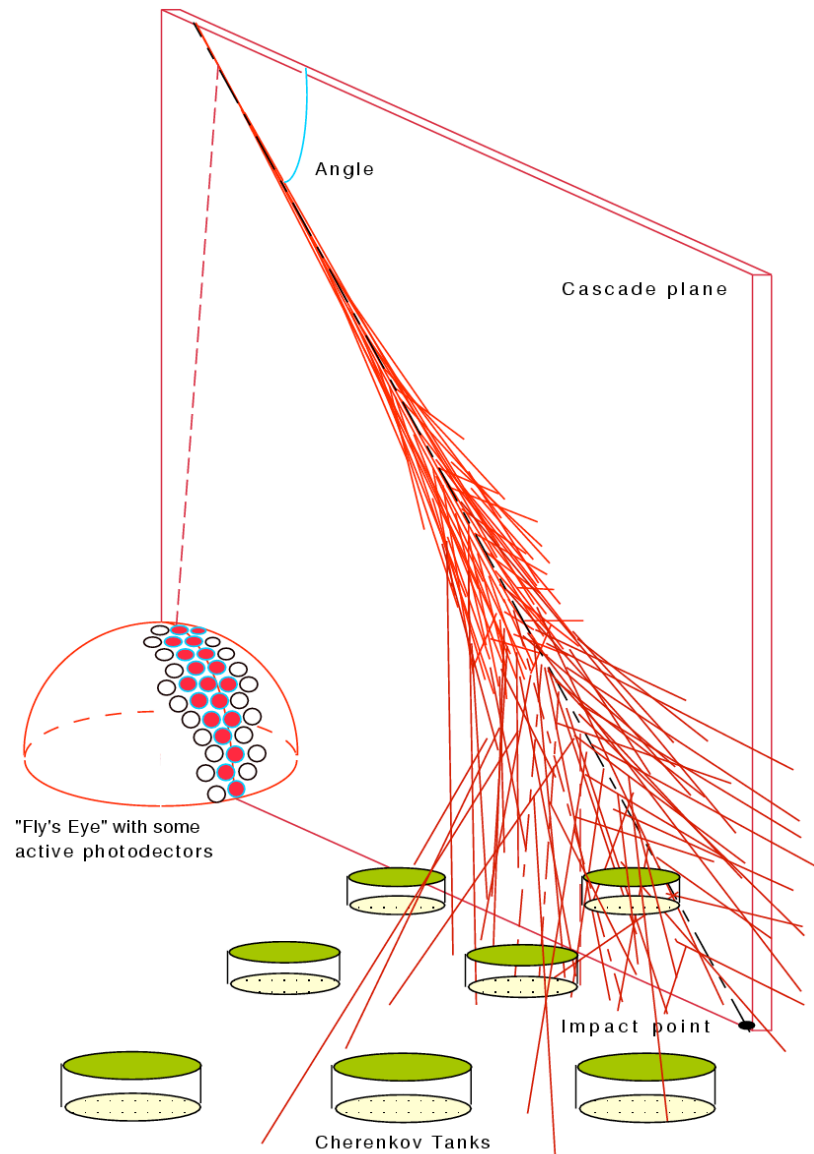
L'Osservatorio Pierre Auger  
combina le due tecniche

## FLUORESCENCE DETECTOR (FD)

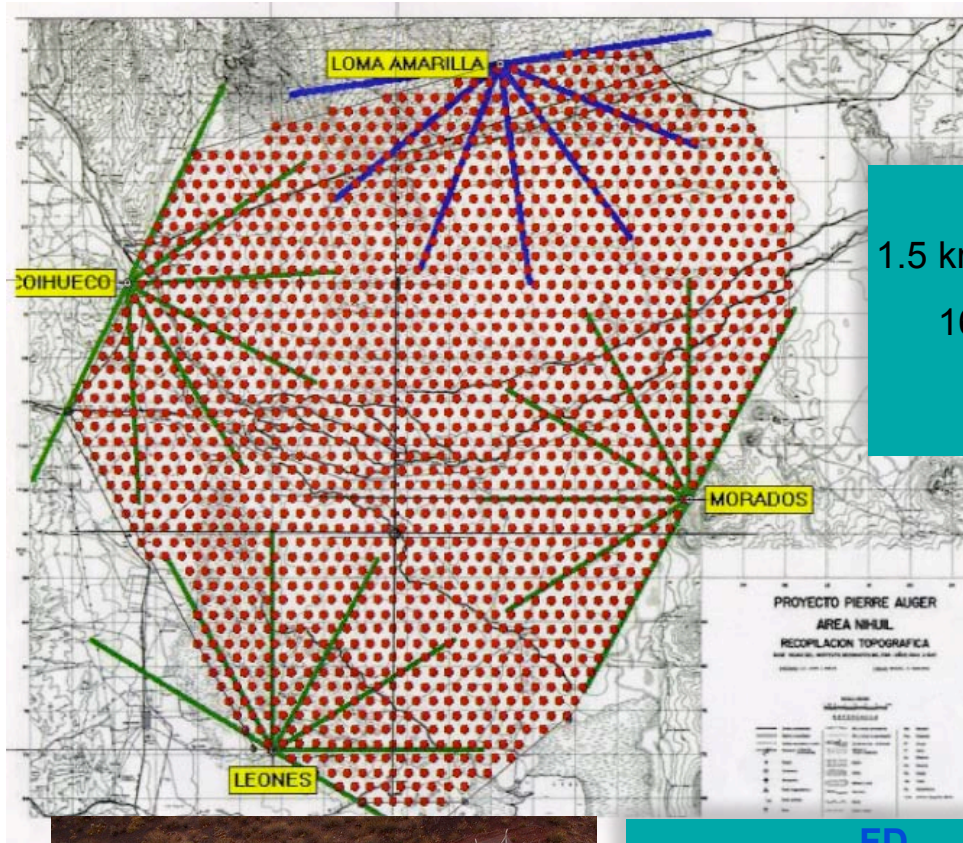
- calorimetric measurement of the energy

## SURFACE DETECTOR (SD)

- large collection area, 100% duty cycle

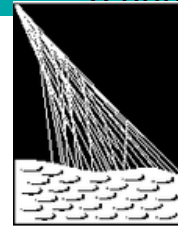


# The Pierre Auger Observatory Southern Site



SD

1.5 km spacing, triangular grid  
1600 water Cherenkov stations  
~ 3,000 km



PIERRE  
AUGER  
OBSERVATORY

FD

4 telescope enclosures  
6 telescopes x 4 FD sites



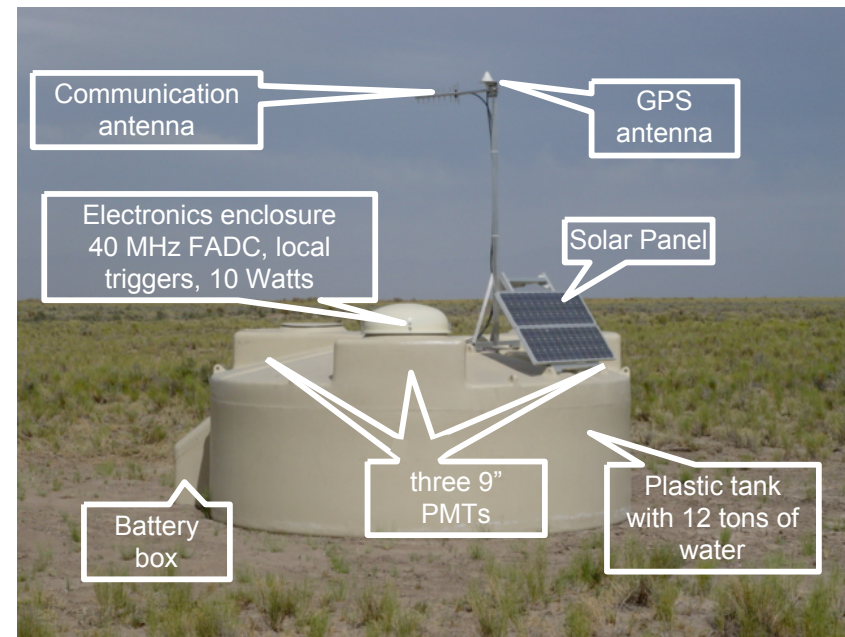
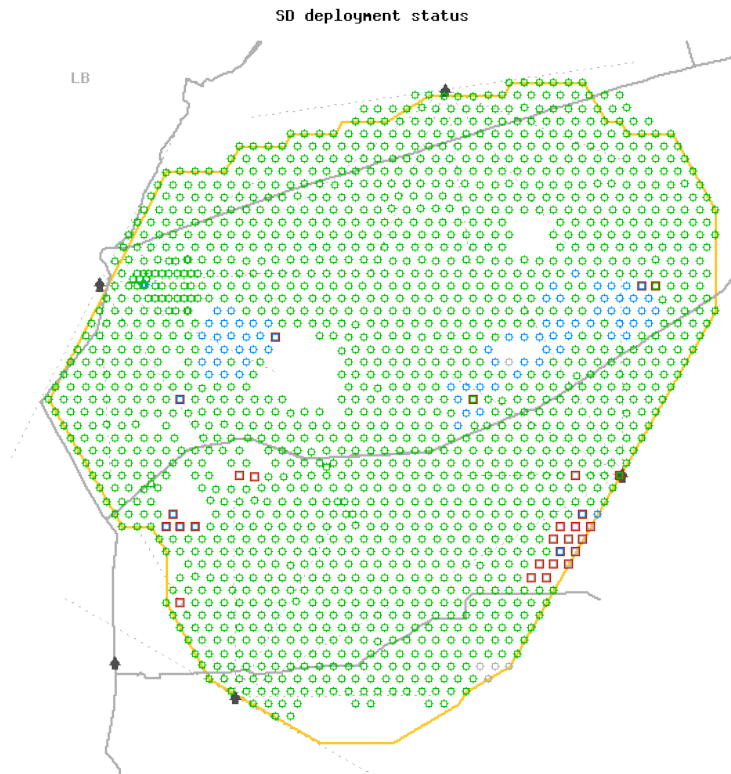
Pampa Amarilla, Argentina

35° S, 69° W

≈ 1400 m a.s.l

≈ 880 g/cm<sup>2</sup>

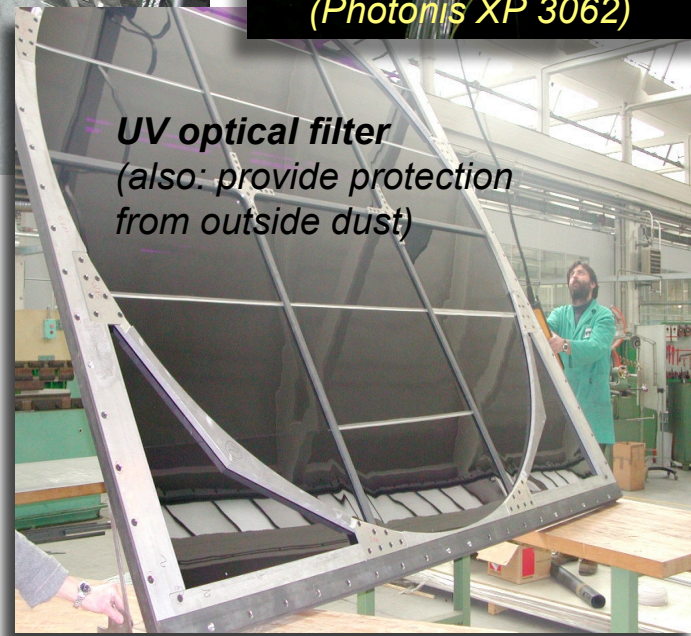
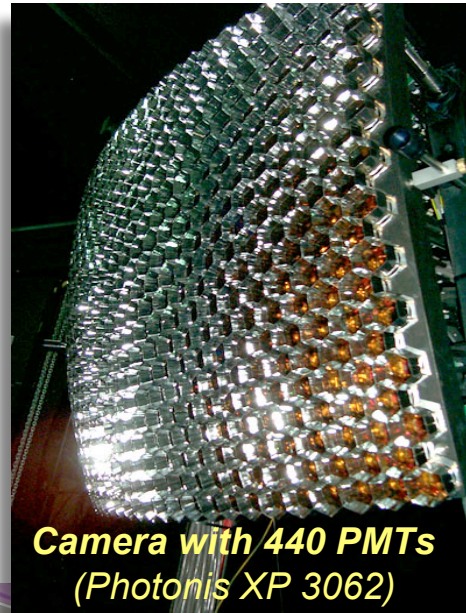
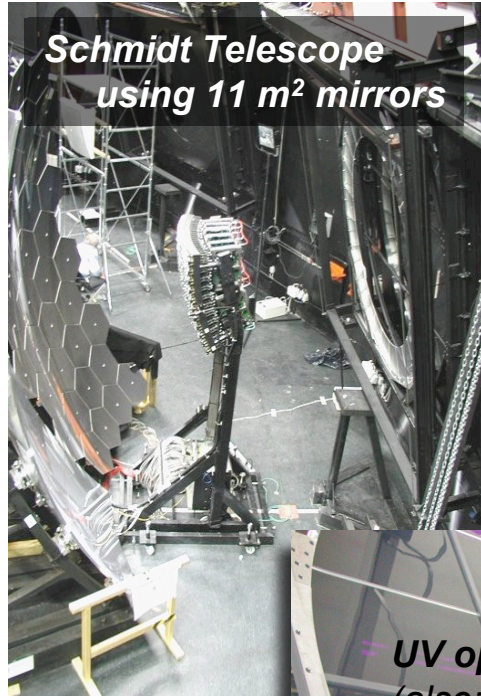
# Surface Detector



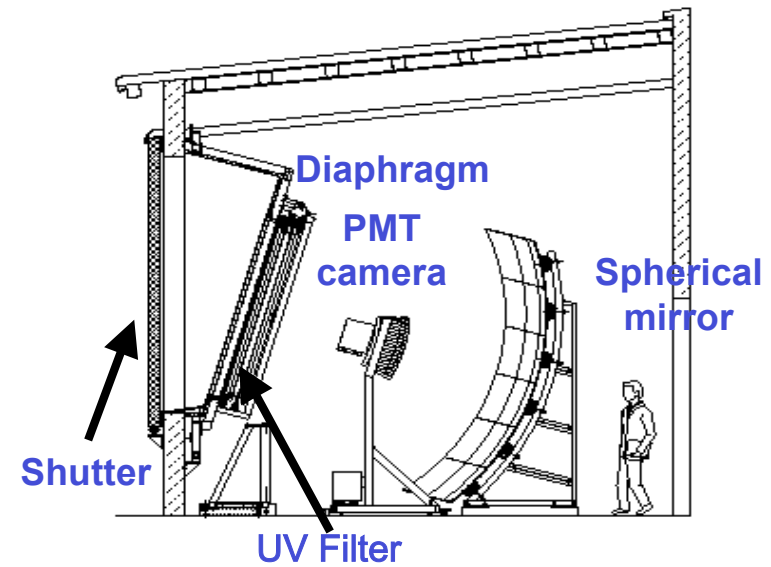
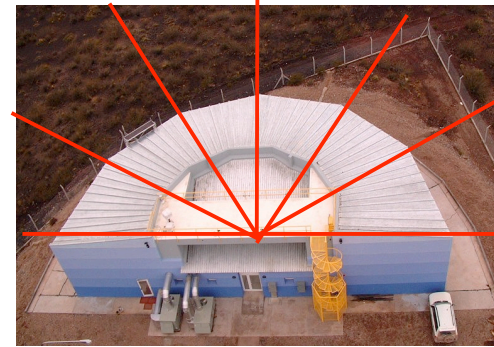
*L. Perrone, Aspen 2007*

- Stable data taking started in January 2004
- Deployment status: completed!

# Fluorescence detector

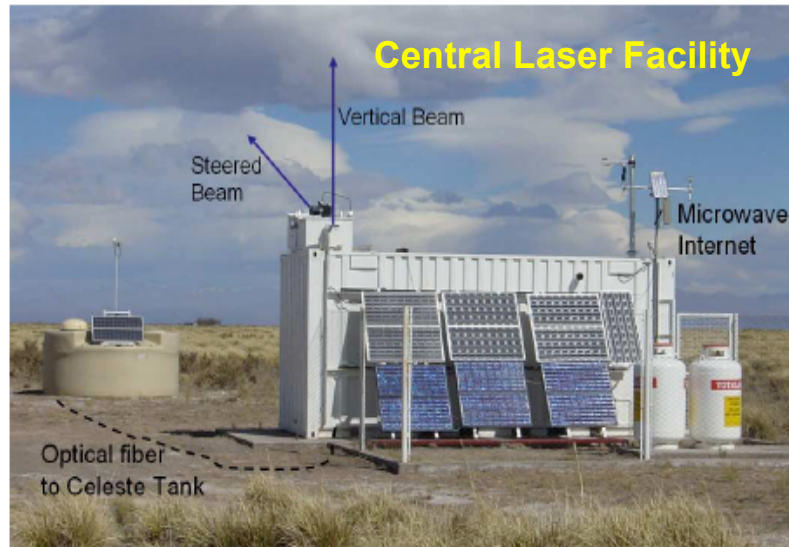


FD completed one year ago

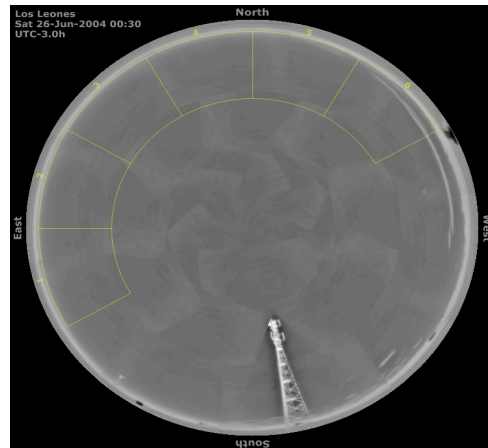


FOV : 30° x 30°

# Monitor atmosfera

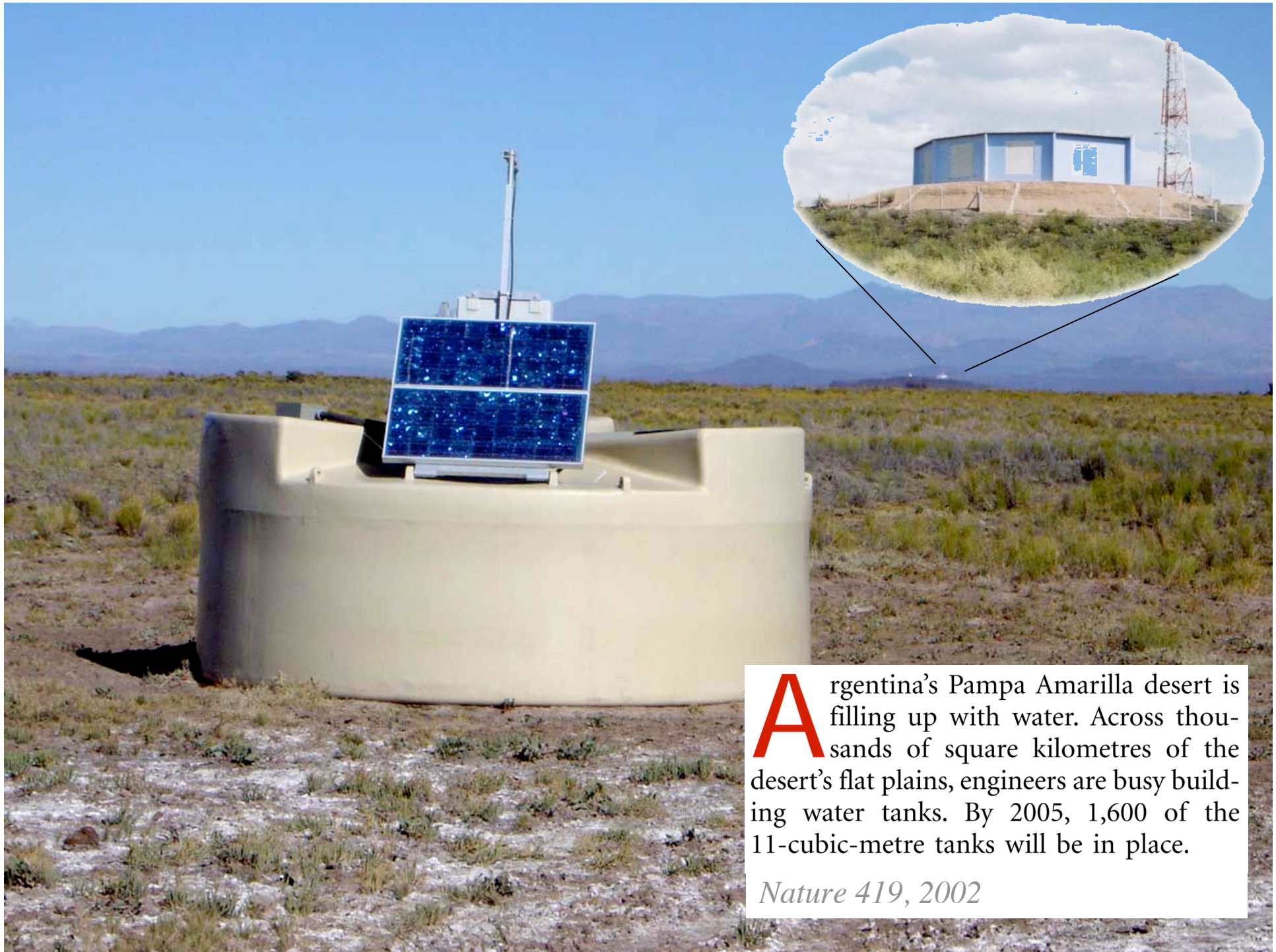


**Radio Soundings with balloons** equipped with T,P, wind, humidity sensors



**Cloud Camera**  
(one per FD site)



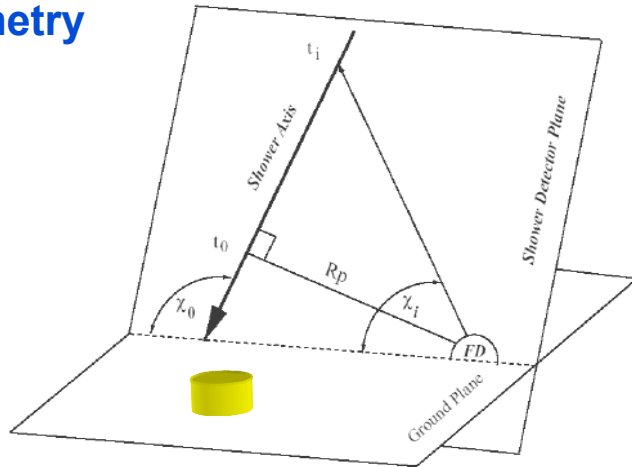


**A**rgentina's Pampa Amarilla desert is filling up with water. Across thousands of square kilometres of the desert's flat plains, engineers are busy building water tanks. By 2005, 1,600 of the 11-cubic-metre tanks will be in place.

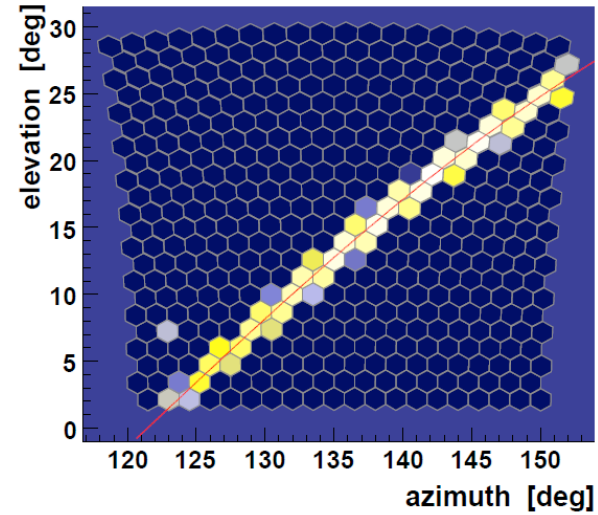
*Nature 419, 2002*

# Ricostruzione con FD (hybrid)

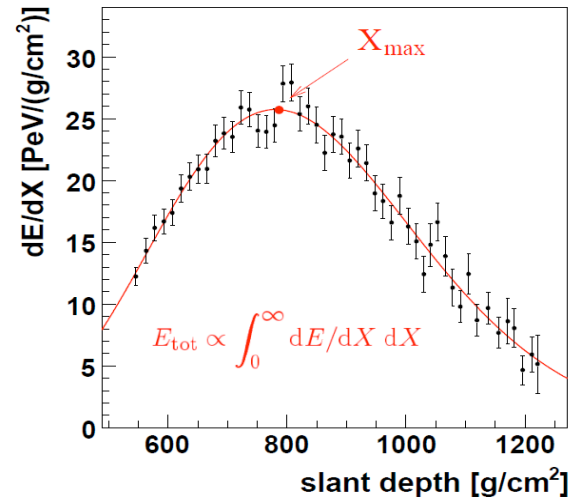
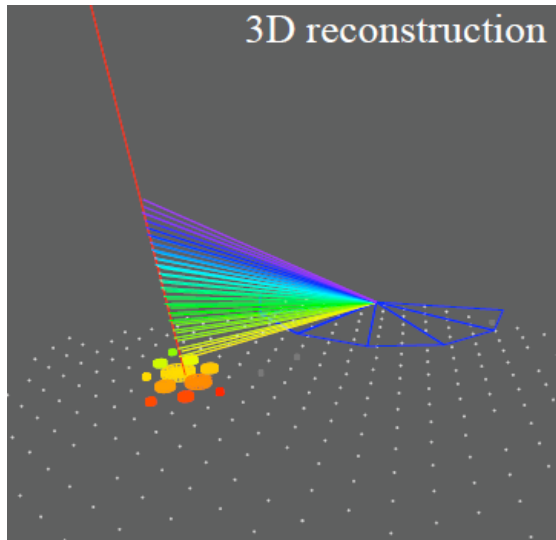
## Geometry



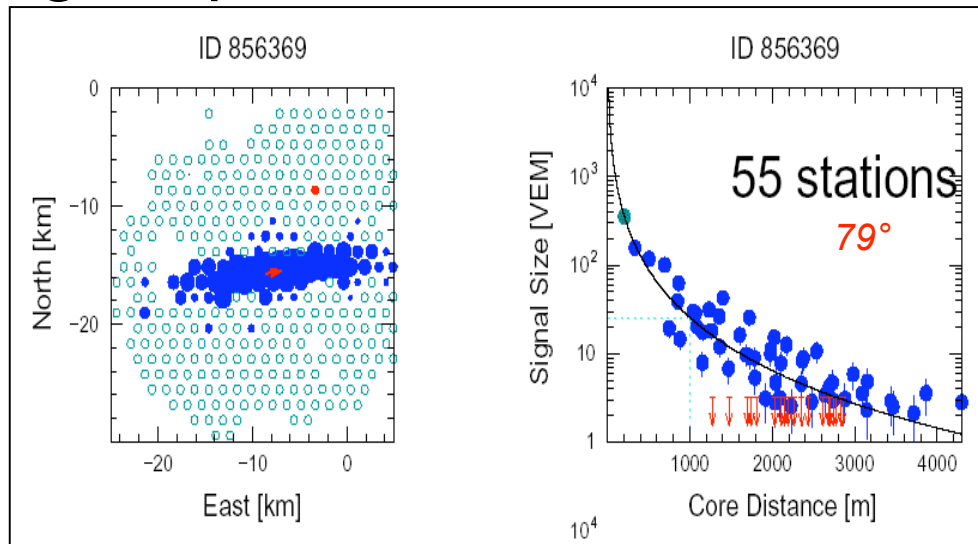
## camera view



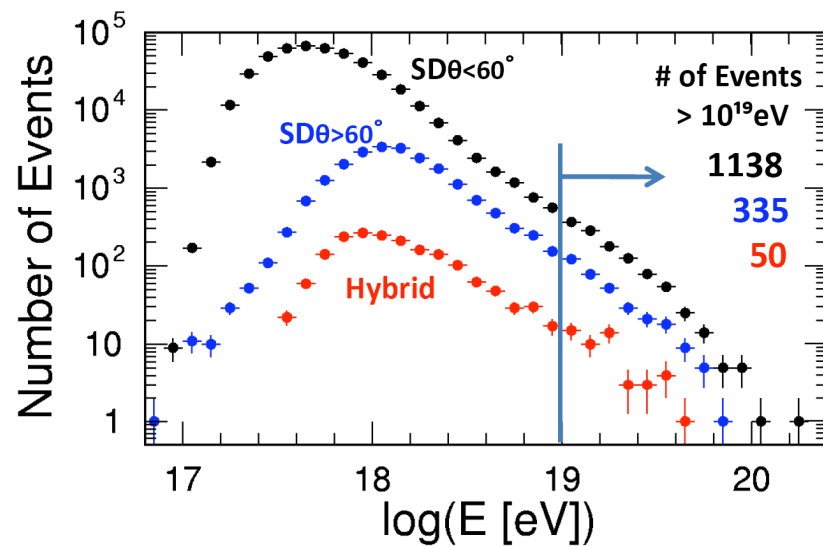
## Energy and $X_{\max}$



# Auger spettro RC: SD, SD-inclined and hybrid

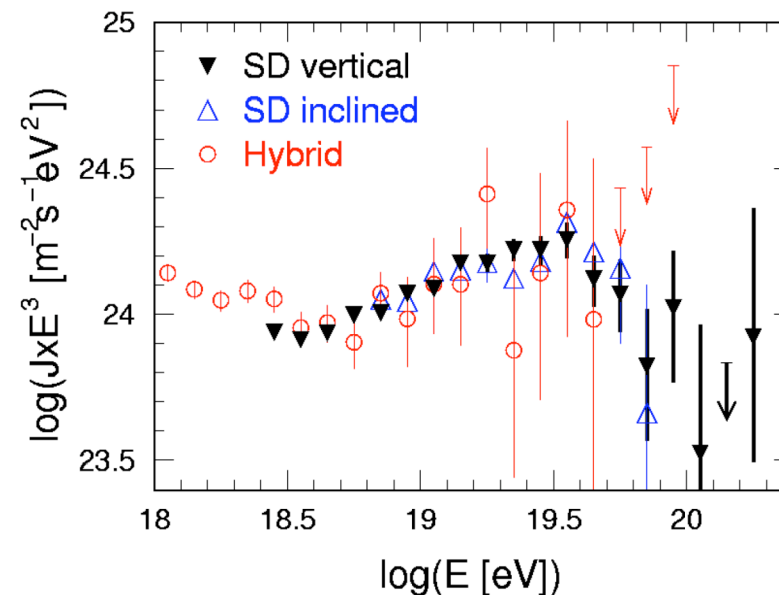


VEM: Vertical Equivalent Muon



Energy scale is measured with Hybrid Observation

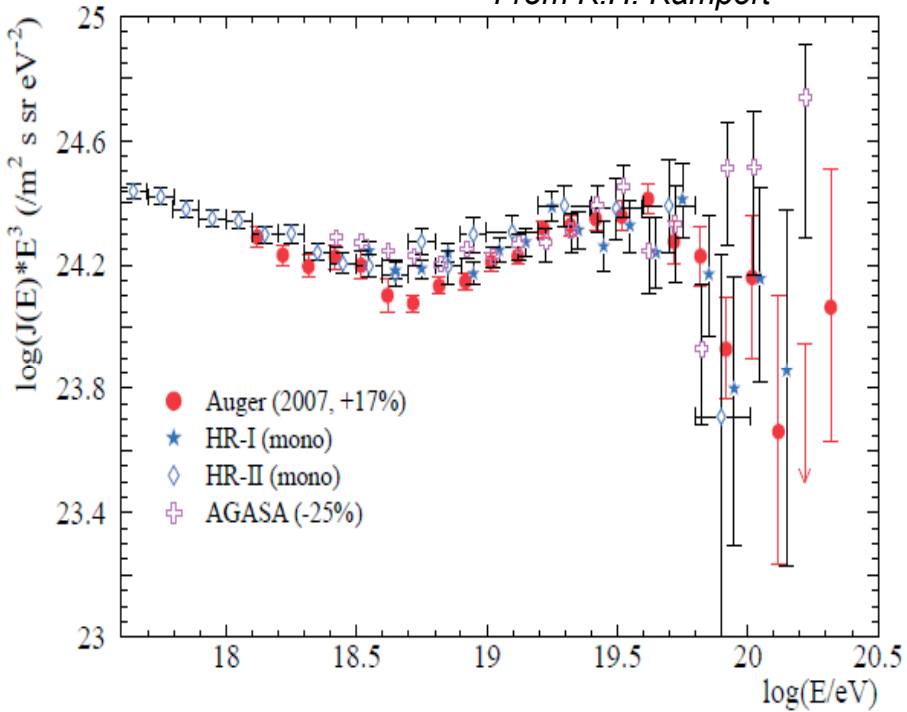
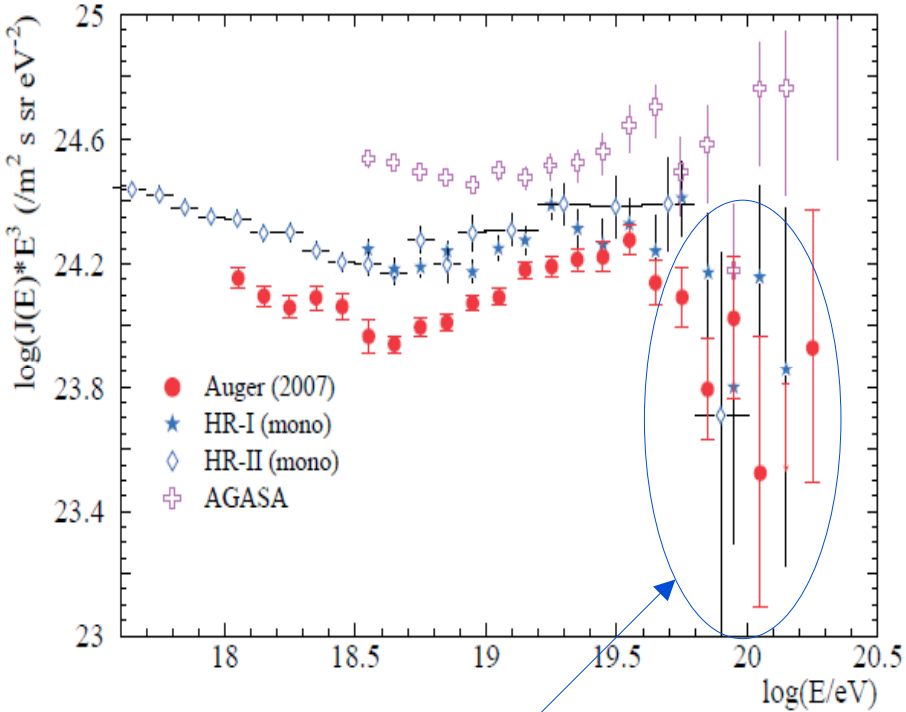
Good agreement between the three spectra





# Sommario spettro UHECR

From K.H. Kampert



GZK cutoff?

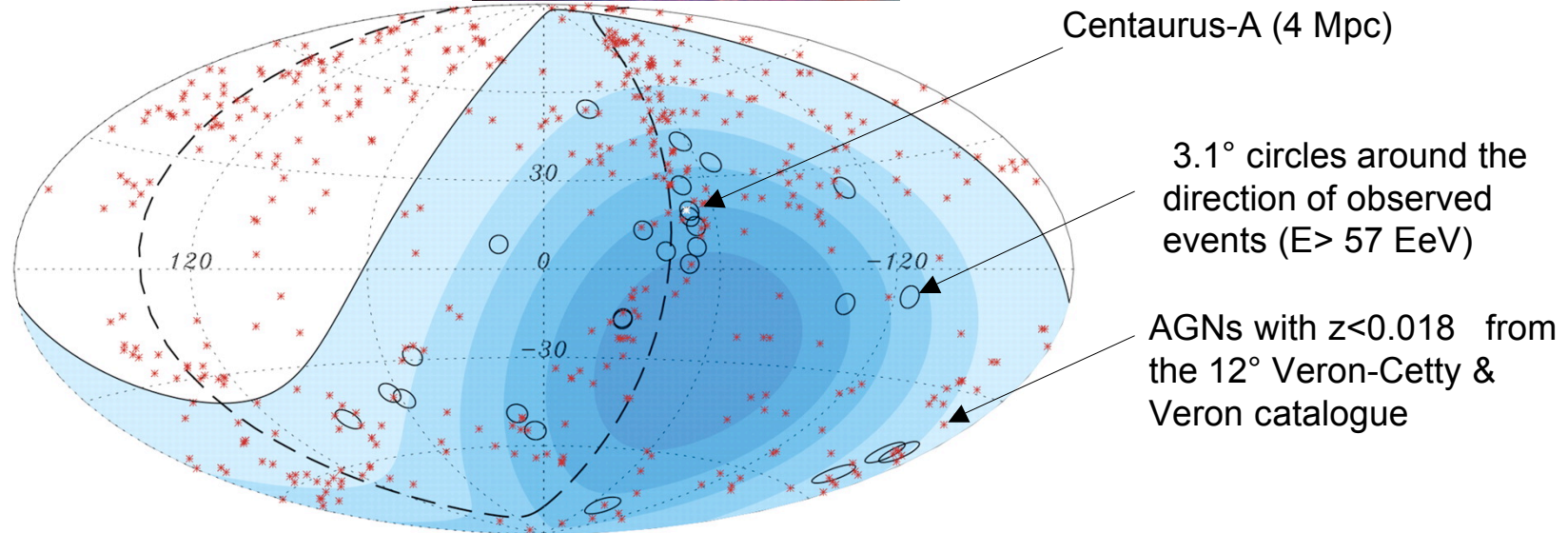
Acceleration limit?

Drop off of lighter elements?

Energy scale problem !

# Correlation with nearby AGNs (I)

Pierre Auger Coll., 9 Nov 2007



Data set 1 Jan 2004 – 31 Aug 2007  
20 of 27 events with  $E > 57 \text{ EeV}$  are within 3.1 degrees of an AGN at a distance of less than  $\sim 75 \text{ Mpc}$

also *J. Abraham et al., Astroparticle Physics 29 (2008) 188-204*

# UHECR summary

## •SPECTRUM

- Hi-Res and Auger measure a flux suppression above  $\sim 4 \cdot 10^{19}$  eV with 5 and 6  $\sigma$  significance level (AGASA data are being reanalysed)
- GZK cutoff?

## •ARRIVAL DIRECTION

- Auger sees a correlation of highest energy events with nearby AGNs, not confirmed by Hi-Res

## •MASS COMPOSITION

- no neutrino or photon detected so far
- Xmax analysis suggests mixed composition

